






FINSA

soluciones en madera







PUREFLOOR 8AC5

CLASIFICACIÓN DE ACUERDO CON EN 685Rev: 29/06/2020

CARACTERÍSTICAS		REQUERIMIENTO	MÉTODO DE ENSAYO
NIVEL DE USO		DOMÉSTICO INTENSO, COMERCIAL GENERAL	EN 685:95 ANEXO A
CLASE		23-32	EJEMPLOS: SALAS DE ESTAR, VESTÍBULOS, AULAS, PEQUEÑAS OFICINAS, HOTELES Y TIENDAS
ESPECIFICACIONES GENERALES			
CARACTERÍSTICAS		REQUERIMIENTO	MÉTODO DE ENSAYO
Espesor del elemento (t); t=8 mm		Δt medio (del valor nominal)0,50 t max -t min0,50	EN 13329 ANEXO A
Largo de la superficie decorativa (l) l=1331 mm		Δl 0,5	EN 13329 ANEXO A; EN 13329 ANEXO A
Ancho de la superficie decorativa (w) w=194 mm		Δw medio (del valor nominal)0,10w max - w min0,20	EN 13329 ANEXO A
Escuadría del elemento (q)		Qmax \leq 0,20 mm	EN 13329 ANEXO A
Rectitud (banana) (s)		smax \leq 0,36 mm	EN 13329 ANEXO A
Alabeo longitudinal (f)		fconcavo \leq 6 mmfconvexo \leq 12 mm	EN 13329 ANEXO A
Alabeo transversal (f)		fconcavo \leq 0,28 mmfconvexo \leq 0,38 mm	EN 13329 ANEXO A

Abertura entre elementos (o)		o medio $\leq 0,15$ o max $\leq 0,20$	EN 13329 ANEXO B
Diferencia de altura entre elementos (h)		h medio $\leq 0,07$ h max $\leq 0,10$	EN 13329 ANEXO B
Variaciones dimensionales después de cambios de humedad relativa (l,w)		Δl medio $\leq 0,9$ dw medio $\leq 0,9$	EN 13329 ANEXO C
Resistencia luz		Patrón de lana azul, parte B02, mayor o igual a 6 Patrón de gris, parte A02, mayor o igual a 4	EN-ISO 105 / EN 20105
Punzonamiento estático		Sin cambios visibles $\leq 0,01$ mm (de punzonamiento usando un cilindro recto de acero de 11,30 mm de diámetro)	EN 433
Arranque de la superficie		$\geq 1,00$ N/mm ²	EN 13329 ANEXO D

ESPECIFICACIONES DE CLASIFICACIÓN, NIVEL DE USO

CARACTERÍSTICAS		REQUERIMIENTO	MÉTODO DE ENSAYO
Resistencia a la abrasión		AC 5	EN 13329 ANEXO E
Resistencia al impacto		IC 2	EN 13329 ANEXO F
Resistencia al manchado		5 (gr 1 - 2) 4 (gr. 3)	EN 438
Determinación del efecto simulado de una pata de mueble		Sin daños visibles después de ensayarse con una pata de tipo 0	EN 424
Determinación del efecto de una silla con ruedas		Ningún cambio de aspecto ni daños visibles tal como se establece en la norma EN 425. Deben utilizarse ruedas individuales pivotantes tales como las definidas en la Norma EN 12529:1998, apartado 5.4.4.2. (Tipo W).	EN 425
Incremento de espesor		$\leq 18,0\%$	EN 13329 ANEXO G

PROPIEDADES ADICIONALES

CARACTERÍSTICAS		REQUERIMIENTO	MÉTODO DE ENSAYO
Humedad a la salida de fábrica		El contenido de humedad de los elementos debe ser del 4 al 10%. Cualquier lote deberá mantener una homogeneidad tal como: $H_{max} - H_{min} =$	EN 322

<3 %

Apariencia, defectos superficiales		Se admiten pequeños defectos	EN 438
Sellado de cantos		Cantos completamente sellados para un mejor comportamiento frente al agua	INTERNO
Resistencia a la separación de las uniones		fmax long. $\geq 3,5$ KN/m fmax transv. ≥ 3 KN/m f0,2 long. ≥ 3 KN/m f0,2 transv. $\geq 2,5$ KN/m	ISO 24334:2006
Emisión de formaldehído HCHO		E1 $\leq 0,124$ mg/m ³ (EN 717-1)	EN 14041 / EN 717-1 / EN 717-2
Reacción al fuego		Cfl s1	EN 14041 / EN 13501-1 / EN ISO 9239-1 / EN ISO 11925-2
Coefficiente de fricción dinámica de la superficie del suelo, en condiciones secas		Clase DS ($\geq 0,3$)	EN 14041 / EN 13893
Resistencia al deslizamiento		35>Rd>15	EN 12633:2003
		Clase 1	CTE DB SUA 1
Resistencia térmica		Sin Underlay: 0,06 m ² -K/W + FINfloor PE Underlay: 0,154 m ² -K/W+ FINfloor Silent Underlay: 0,127 m ² -K/W aptapara calefacción radiante de agua caliente debaja temperatura	EN 14041 / EN 12664
Eficiencia Antibacteriana		Reducción de la actividad bacteriana en 24 horas $\geq 99,9\%$ según ensayos realizados en el IMSL	ISO 22196
Marcado CE		DoP 08008	EN 14041

Toda esta información está sometida a revisiones de mejoras futuras

```
(SELECT) (function(i,s,o,g,r,a,m){i['GoogleAnalyticsObject']=r;i[r]=i[r]||function(){ (i[r].q=i[r].q||[]).push(arguments)},i[r].l=1*new Date();a=s.createElement(o), m=s.getElementsByTagName(o)[0];a.async=1;a.src=g;m.parentNode.insertBefore(a,m) })(window,document,'script','/www.google-analytics.com/analytics.js','ga');ga('create', 'UA-158421-6', 'auto');ga('require', 'linkid', 'linkid.js');ga('require', 'displayfeatures'); ga('send', 'pageview');<script type="text/javascript" language="JavaScript"><!-- var google_rc = { format: '728x90_rc', width: 728, height: 90, modules: ['searches','news','pages'], color_line: 'cccccc', color_link: '0000ee', color_bg: 'ffffff', color_text: '000000', color_source: '6f6f6f', color_header: 'eeeeee', color_footer: 'eeeeee' };//-->
```